

Elméleti módszerek lipidek és membránfehérjék tanulmányozására

Hegedűs Tamás

tamas@hegelab.org

MTA-SE Molekuláris Biofizikai Kutatócsoport
SE Biofizikai és Sugárbiológiai Intézet



Számítógépes modellezés jelentősége

Atomi szintű információt ad mozgásokról.

Kísérletes módszerek általában nem szolgáltatnak közvetlen információt az atomi szintű történésekről.
(pl. EPR, Xlinks: nem, de NMR: igen)

Fehérjék szerkezetének és dinamikájának jelentősége

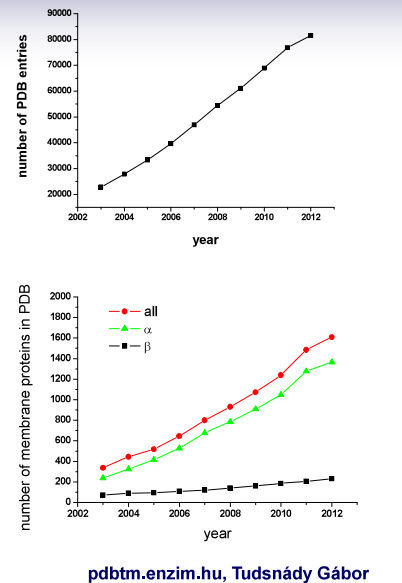
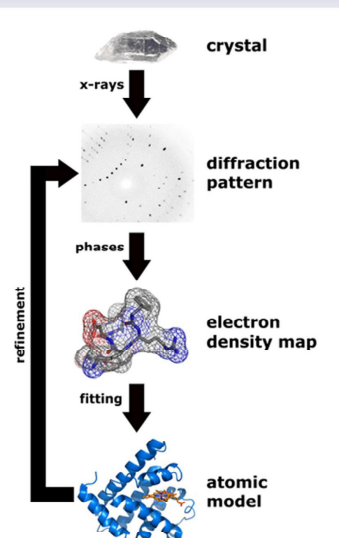
A betegség molekuláris szintű oka?
A gyógyszer-kötő zseb alakja?

37°C-on, oldatban nem egy szerkezet létezik,
hanem egy konformációs sokaság.

Membránfehérjék szerkezeti modellezése

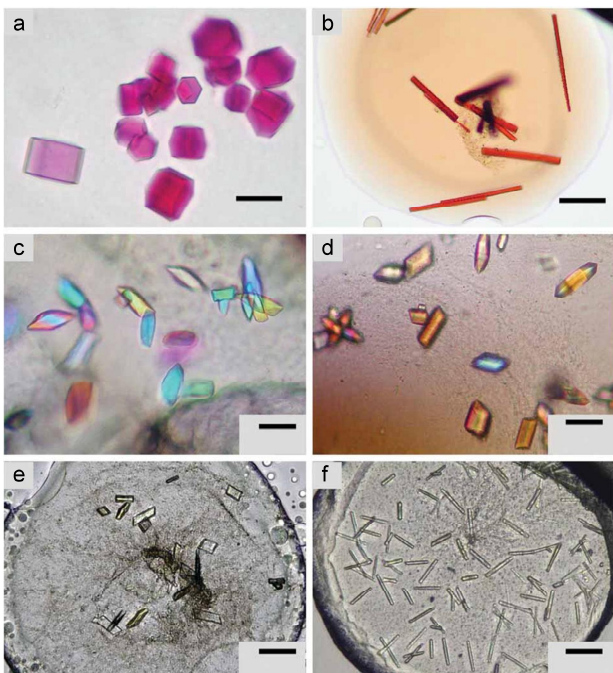
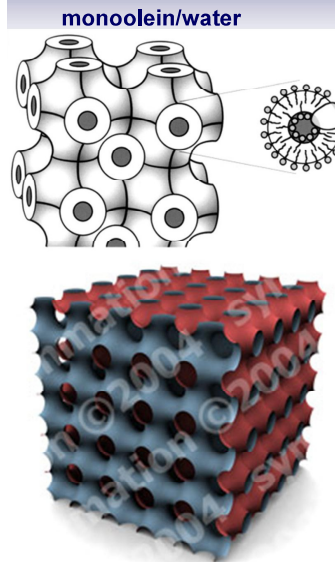
- Kísérleti adatok alapján
- Homológia modellezés
- „Threading” vagy “fold recognition”

Szerkezet meghatározás – Röntgen krisztallográfia



pdbtm.enzim.hu, Tudsányi Gábor

Szerkezet meghatározás – cubic phase



Crystals of membrane proteins growing in the lipidic mesophase.

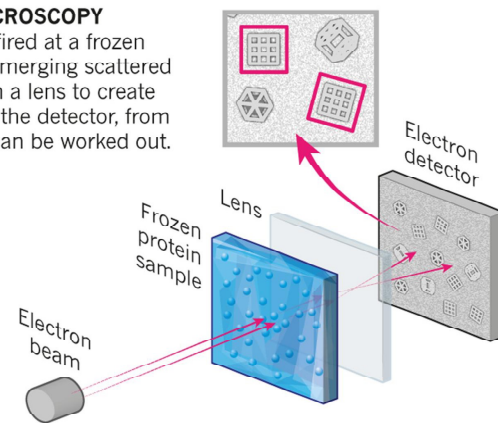
- (a) bacteriorhodopsin
- (b) light-harvesting complex II
- (c) adhesin/invasin OpcA
- (d) vitamin B12 transporter BtuB
- (e) human β 2 adrenergic receptor-T4 lysozyme chimera
- (f) carbohydrate transporter from *Pseudomonas*

Szerkezet meghatározás – „single particle”

Cryo-electron microscopy

CRYO-ELECTRON MICROSCOPY

A beam of electron is fired at a frozen protein solution. The emerging scattered electrons pass through a lens to create a magnified image on the detector, from which their structure can be worked out.



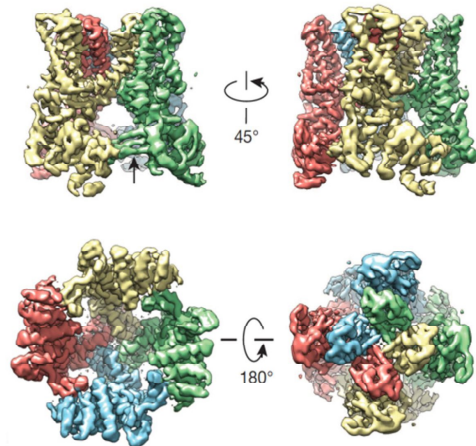
© nature

Ewen Callaway, Nature | News Feature

The revolution will not be crystallized: a new method sweeps through structural biology, 09 September 2015

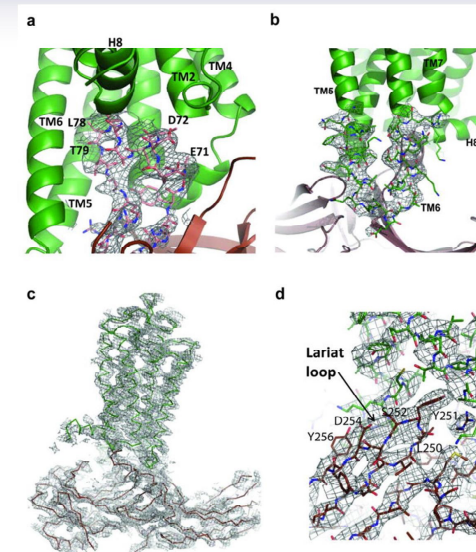
Szerkezet meghatározás – „single particle”

The TRPV1 channel detects the burn of chilli peppers, and this 3.4-Å structure is considered super-hot in the structural-biology world.



Szerkezet meghatározás – „single particle”

Free Electron Laser (FEL)

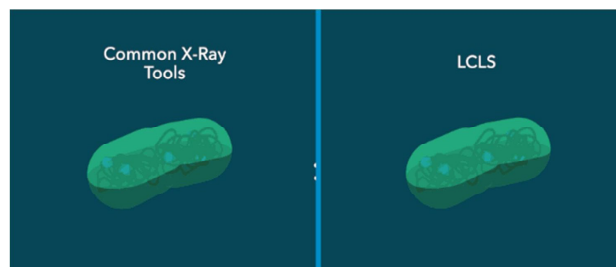


Nature. 2015 Jul 30;523(7562):561-7.

Crystal structure of rhodopsin bound to arrestin by femtosecond X-ray laser.

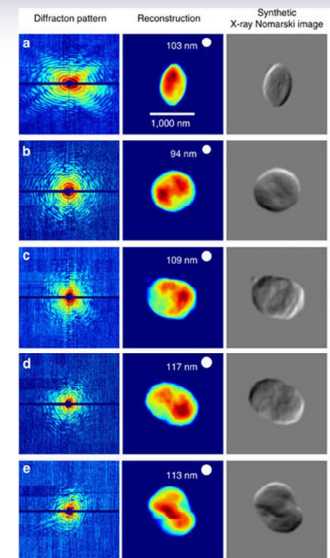
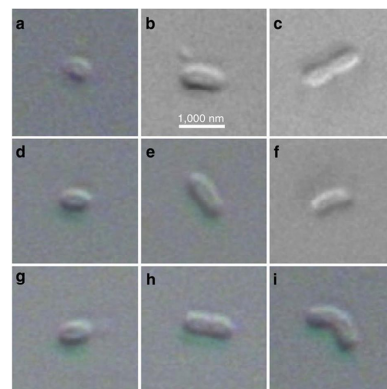
Szerkezet meghatározás – „teljes sejt”

Free Electron Laser (FEL)



Szerkezet meghatározás – „teljes sejt”

Free Electron Laser (FEL)



Nat Commun. 2015 Feb 11;6:5704. doi: 10.1038/ncomms6704.

Membránfehérjék nanodisc-ben

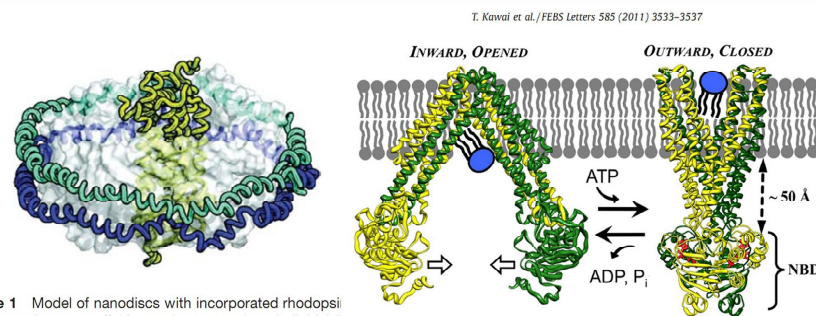


Figure 1 Model of nanodiscs with incorporated rhodopsin
Blue: membrane scaffold protein; gray: phospholipid bilayer,
green: rhodopsin. The model was adapted from Nath et al.
(2007a).

Homológia modellezés I.

- Templat keresés
- Szekvencia illesztés
- Modellezés
- Energia-minimalizálás

BLOSUM (BLOCKS of AMINO ACID SUBSTITUTION Matrix)
is a substitution matrix

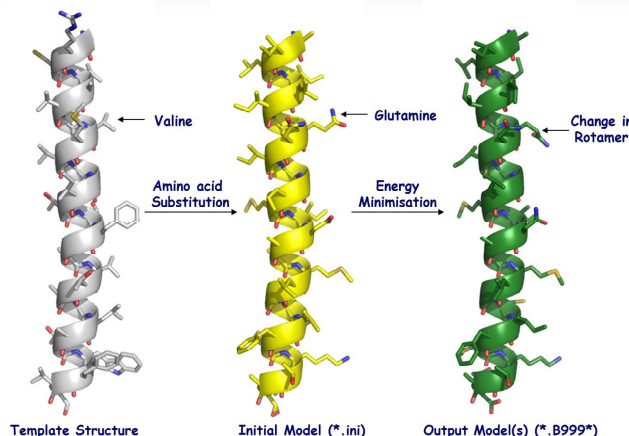
Ala	4
Arg	-1
Asn	-2
Asp	-2
Cys	0
Gln	-1
Glu	0
Gly	0
His	-2
Ile	-1
Leu	-1
Lys	-1
Met	-1
Phe	-2
Pro	-1
Ser	1
Thr	0
Trp	-3
Tyr	-2
Val	0
Ala Arg Asn Asp Cys Gln Glu Gly His Ile Leu Lys Met Phe Pro Ser Thr Trp Tyr Val	

CLUSTAL W (1.83) multiple sequence alignment

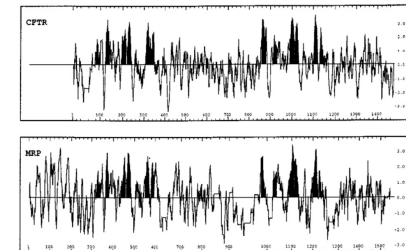
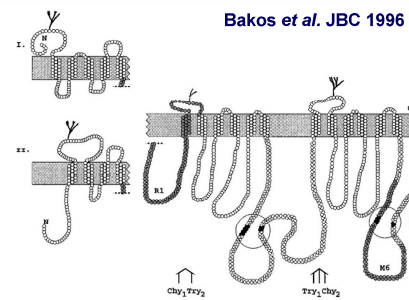
Alignment – pl. ClustalW

2HYD	-----M[KRYLQFVK-----PYKYLIFATIIVGIIKGIFPMIIP
3B5X	-----WQTFKLWTVYIR-----LYKAGLVSTIALVINAADTYMI
CFTR_HUMAN	MQRSPLEKASVSKLFFSWTRPLILRKGYRQLRLESDIYQIPSVDASDNLS
*	*: : * : * : : :
5	10 15 20 25 30 35
W Q T F K R L W T Y I R - - - - L Y K A G L V V S	M Q R S P L E K A S V V S K L F F S W T R P I L R K G Y R Q R L E L S

Homológia modellezés II.



Membránfehérjék topológiája



Membrántopológia és TM hélixek predikciója

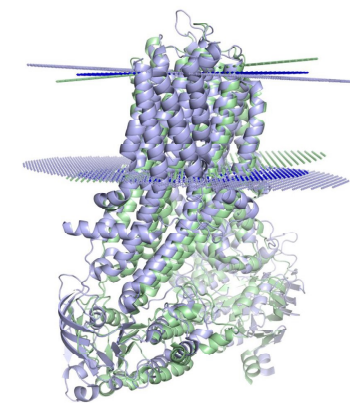
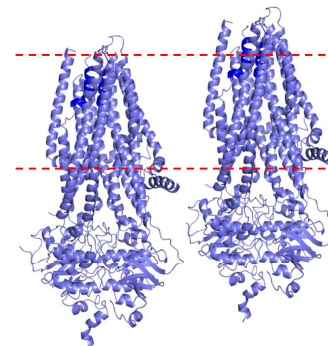
CCTOP.enzim.hu

- Szekvencia alapján
- TMH és más részek között más az aminosav eloszlás
- Biológiai tudás figyelembevételenek lehetősége
- Több prediktor integrálása

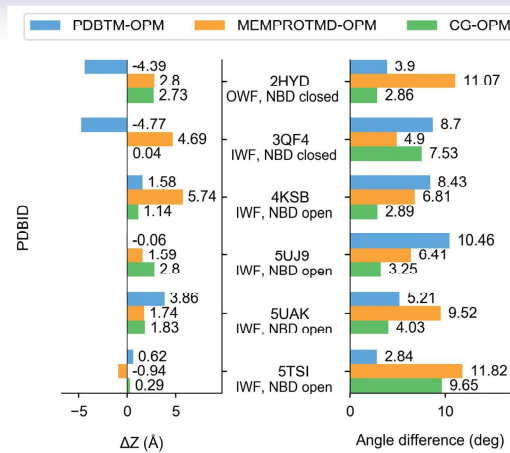
TMDET.enzim.hu

- Szerkezet alapján
- „water accessible area”
lipid kettősréteg lehetséges helye
pontozás – fitnessz függvény

Localization and tilting in a bilayer



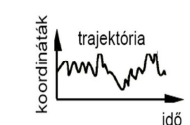
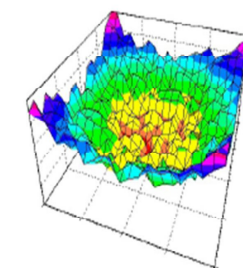
Tilting and localization in a bilayer



Molecular dynamics

Molekuláris dinamika (MD)

- valós potenciálfelület
- mozgássegyenletek
- idő-lépésekbenki numerikus megoldása
- trajektória



A „force field”

Baker (2007)

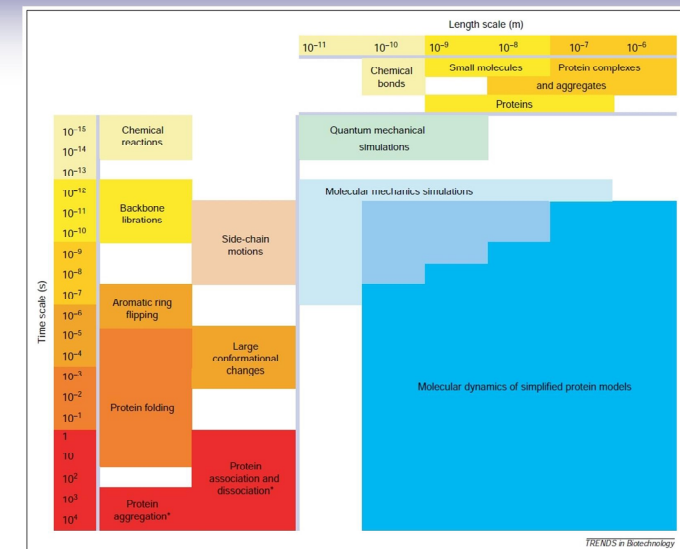
$$E_{\text{prot}} = W_{\text{rot}} E_{\text{rot}} + W_{\text{atr}} E_{\text{atr}} + W_{\text{rep}} E_{\text{rep}} + W_{\text{solv}} E_{\text{solv}} + W_{\text{pair}} E_{\text{pair}} \\ + W_{\text{mbenv}} E_{\text{mbenv}} + W_{\text{hbond}} E_{\text{hbond}} - E_{\text{ref}}$$

$$E_{\text{mbenv}} = \sum_i^{\text{natom}} \Delta G_i^{\text{ref}}(z') \quad \Delta G_i^{\text{ref}}(z') - (1 - f(z')) * (\Delta G_i^{\text{ref, chex}} - \Delta G_i^{\text{ref, water}})$$

TABLE II. Atomic Contribution to the Solvation Free Energy in Water and Cyclohexane

	Water	Chex	Water	Chex
CR	-0.890	-1.350	NH3	-20.000
CH1E	-0.187	-0.645	NC2	-10.000
CH2E	0.372	-0.720	N	-1.000
CH3E	1.089	-0.665	OH1	-5.920
CR1E	0.057	-0.410	O	-5.330
NH1	-5.950	-1.145	OC	-10.000
NR	-3.820	-1.630	S	-3.240
NH2	-5.450	-1.145	SH1E	-2.050
				-1.855

„Események” időskálája



F. Ding and N.V. Dokholyan, Trends in Biotechnology, 23:450 (2005)

Egyszerűsített (Coarse Grain) modellek

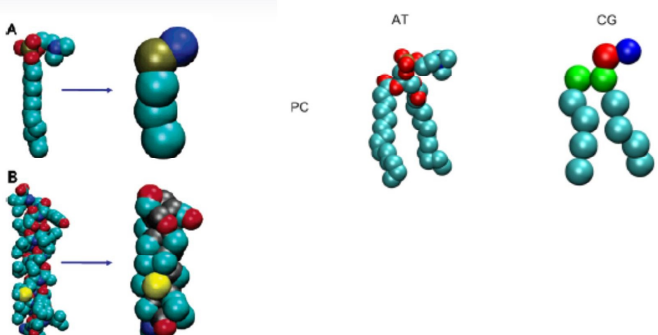
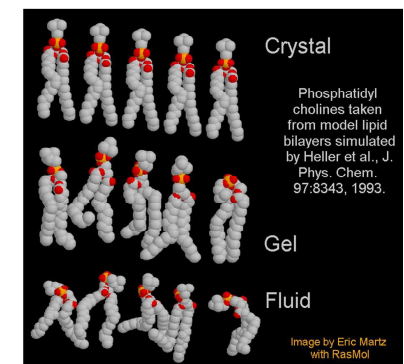
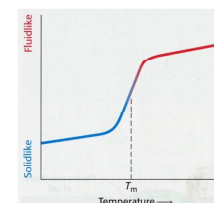


Figure 1. Atomistic (left-hand) and coarse-grained (right-hand) models compared for (A) a DPC molecule and (B) a GpA helix. Colors for atoms:

Sansom, Oxford University
Marrink, Groningen, MARTINI force field

A membrán fluiditása, fázisátmenetei

1. Hőméréklet
 2. Összetétel
- fázisátalakulás
- lánchossz
 - cisz-kötések
 - koleszterin



Lipid struktúrák összeszerelődése

Molecular dynamics simulations of glycocholate-oleic acid mixed micelle assembly.

Langmuir 2010, 26(7), 4687–4692

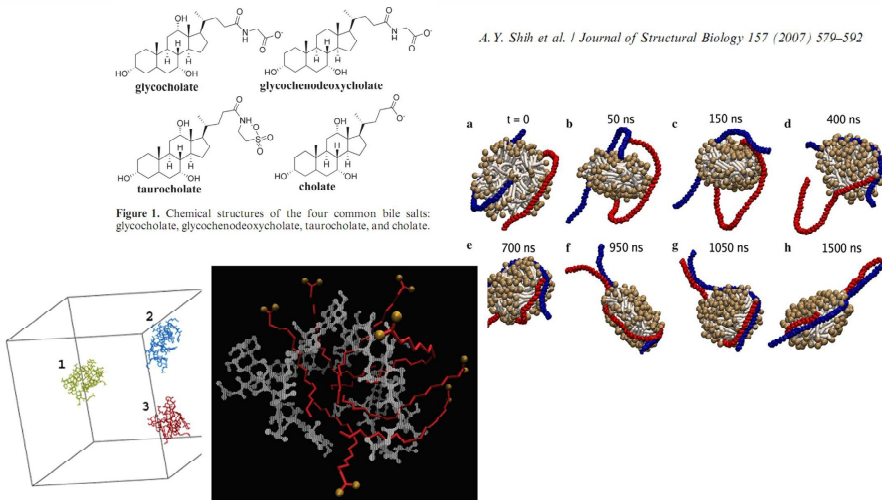
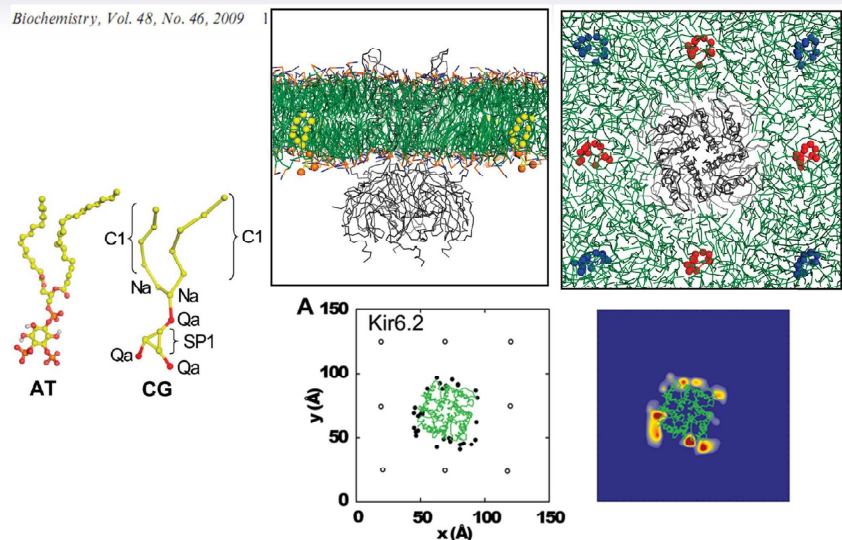


Figure 1. Chemical structures of the four common bile salts: glycocholate, glycochenodeoxycholate, taurocholate, and cholate.

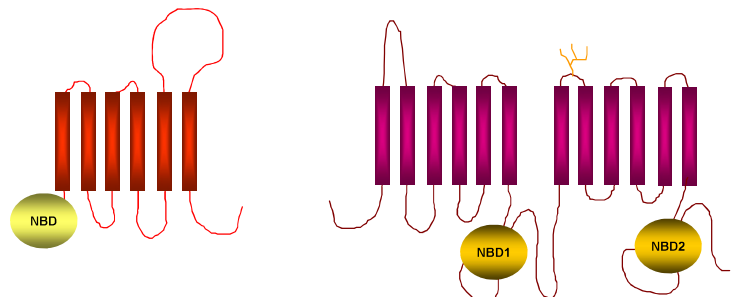
A. Y. Shih et al. / Journal of Structural Biology 157 (2007) 579–592

PIP2 kötődése Kir kálium csatornához

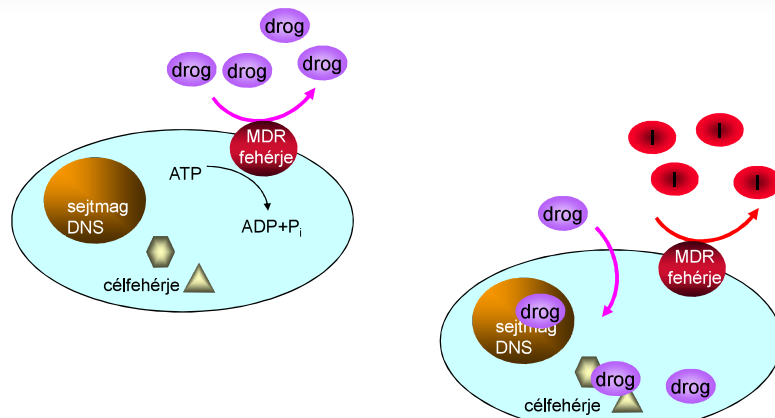
Biochemistry, Vol. 48, No. 46, 2009



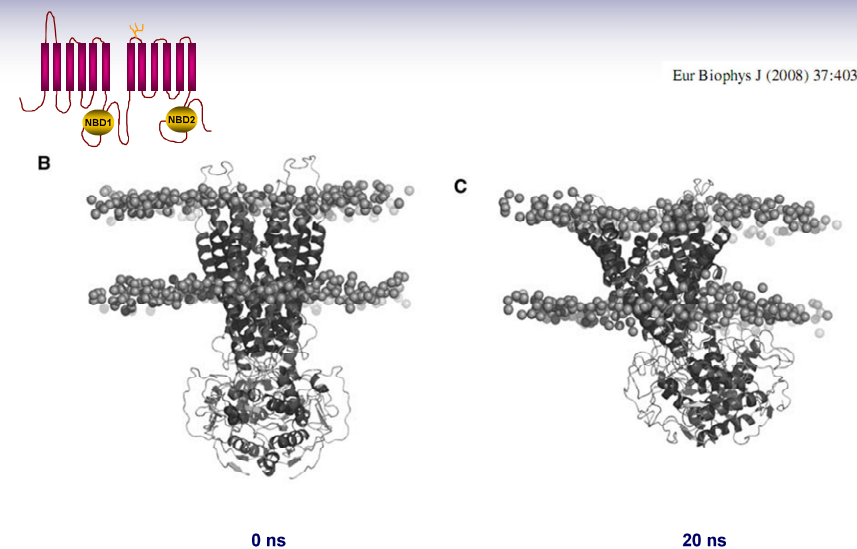
ATP Binding Cassette (ABC) fehérjék



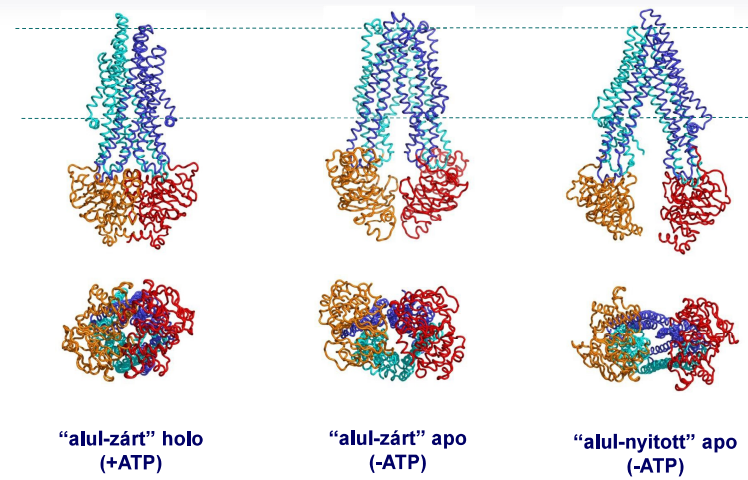
A multidrog-rezisztencia és felfüggesztése



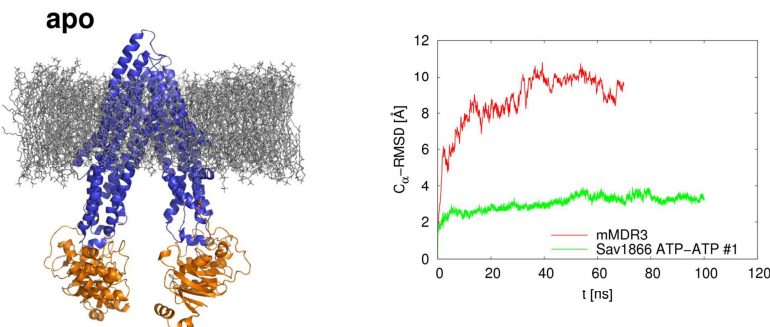
Fehérjék konformációinak stabilitása



ABC fehérjék konformációi

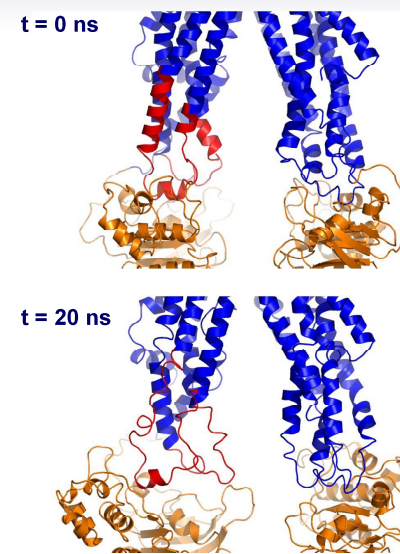


Az alul nyitott apo szerkezet nem stabil



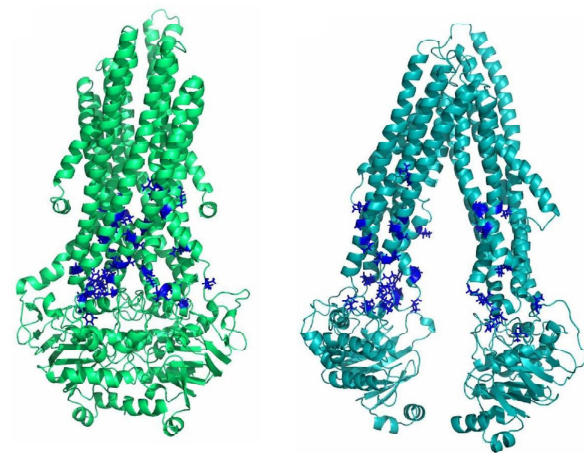
Gyimesi et al. BBA 2012

Az alul nyitott apo szerkezet nem stabil



rendszer	megtartott hélixtartalom
Sav1866 ATP/ATP #1	90.04%
hMDR1 holo	91.84%
hMDR1 apo	64.30%
mMDR3	63.13%

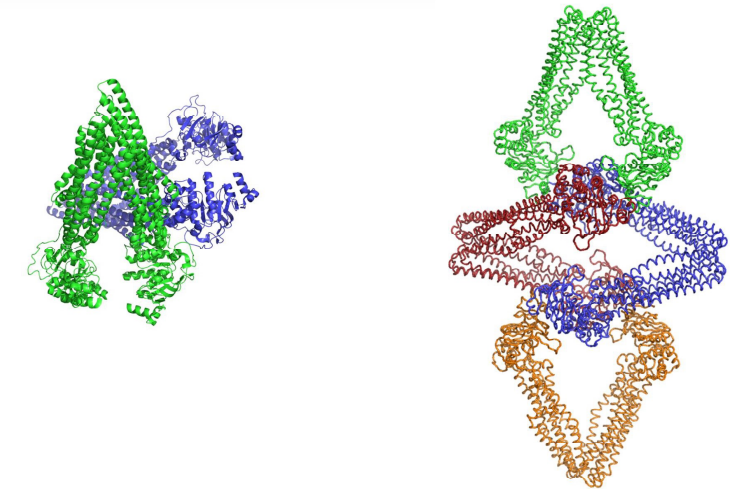
Hidrofób aminosavak kerülnek felszínre



Alul nyitott apo szerkezet elemi cellája

mMDR3, PDBID:3G5U

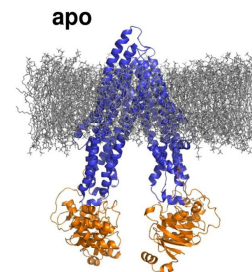
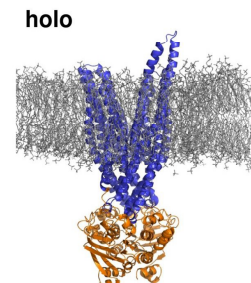
MsbA, PDBID:3B5W



Események modellezése

- Hogyan befolyásolja az ATP hidrolízise a fehérje dinamikáját?
Pl. steered MD
- Hogyan történik meg az átmenet
az „alul-zárt” konformációból az „alul-nyitott” konformációba?
Pl. targeted MD

Zárt-nyitott átmenet jellemzése molekuláris dinamikával



hMDR1 homológia modell

molekuláris dinamika
trajektóriák



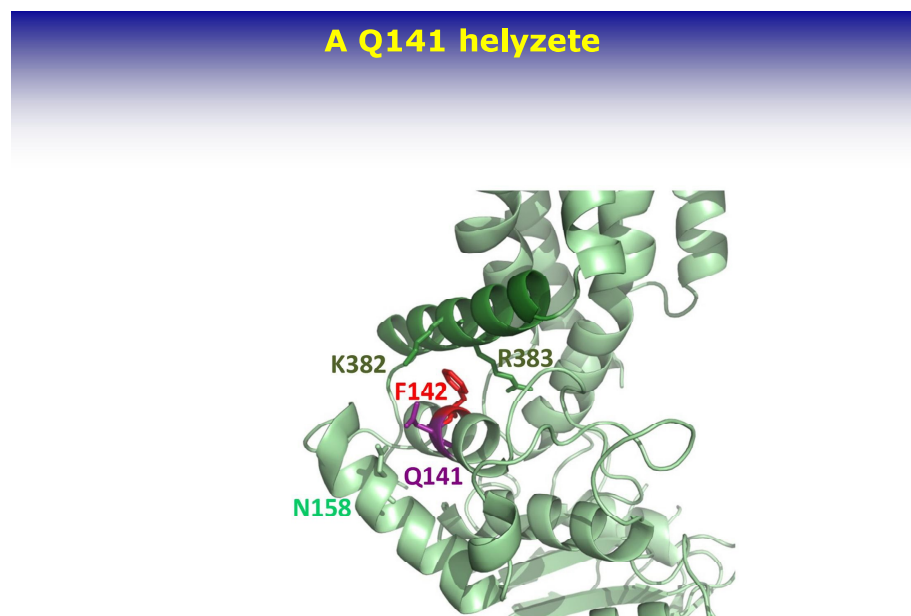
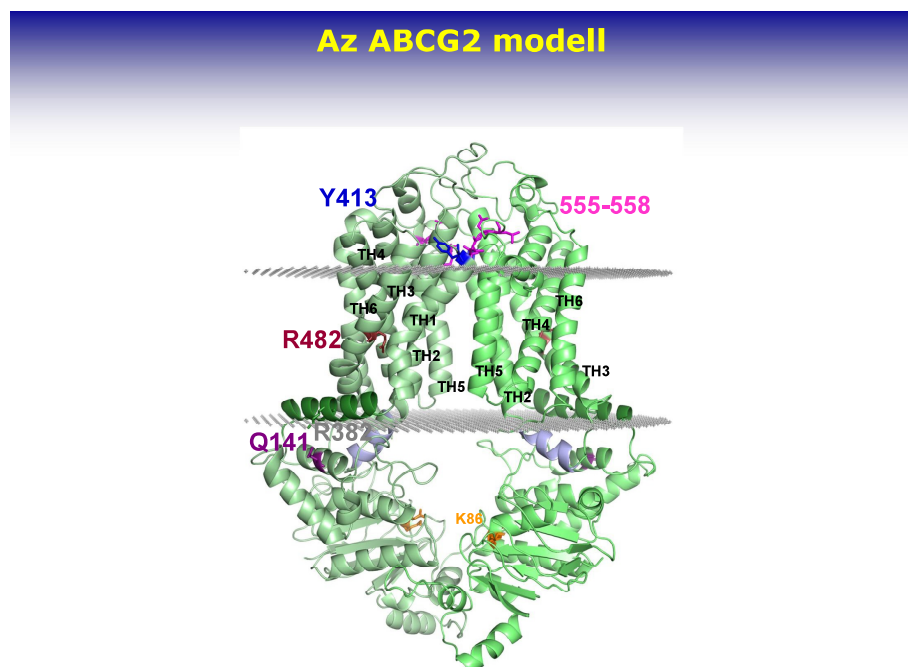
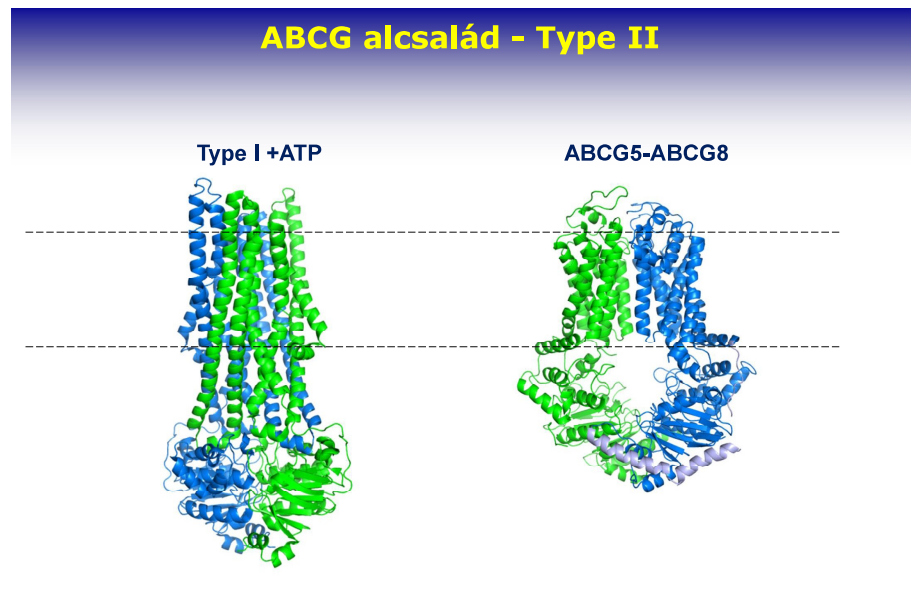
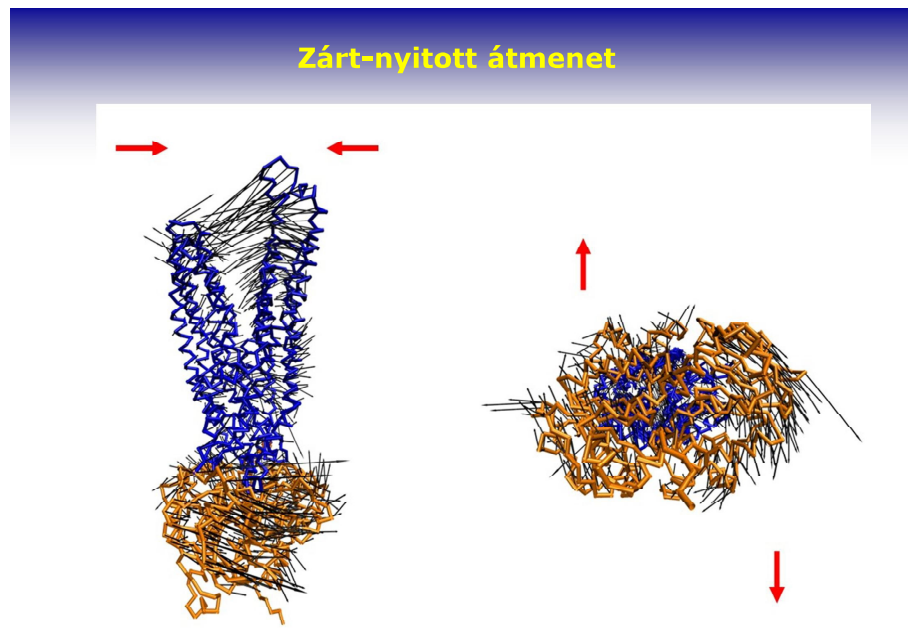
Esszenciális
dinamika



módus kiválasztás



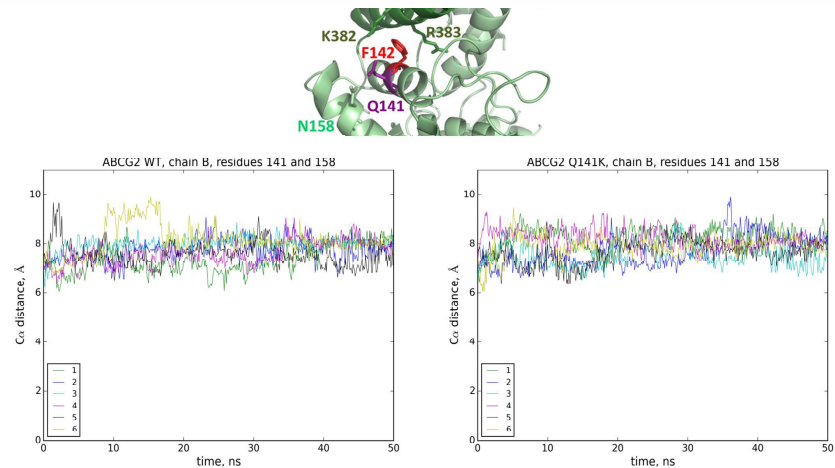
kollektív mozgások



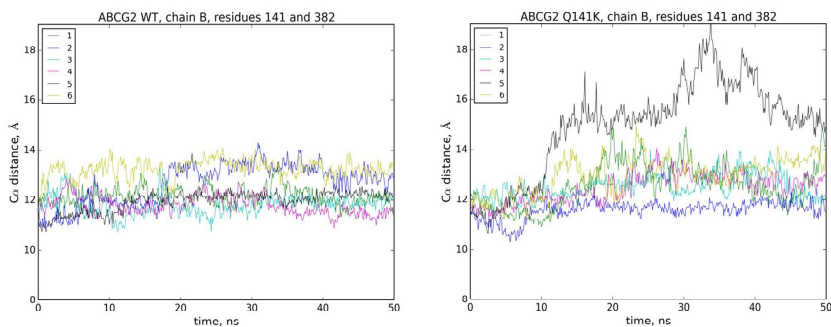
Molekuláris Dinamikai (MD) szimulációk

- Az ABCG2 fehérjét membrán kettősrétegbe helyeztük (POPC)
- Az a.a. oldalláncok, lipidek és vízmolekulák elhelyezkedésének optimalizálása:
 - energia minimalizáció
 - egyensúlyba hozás (6 db párhuzamos)
 - minimális gerinc-mozgás (position constrains)
- Production run
 - no constraints
 - 50 ns x 6 = 300 ns;
- WT és variánsok összehasonlítása
(pl. Q141K, R482G)

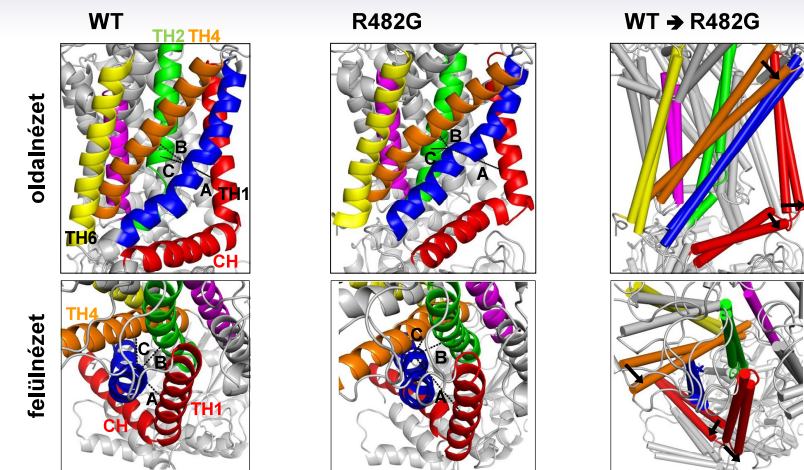
Q141K csere hatása a 141/158 kölcsönhatásra



A Q141K hatása a 141/382 (NBD/TMD) kapcsolatra

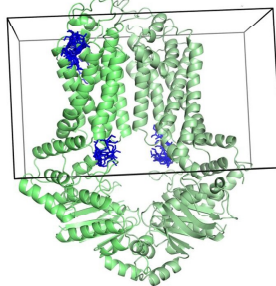


Az R482G által okozott változások



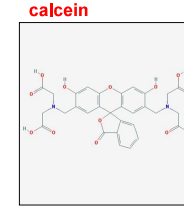
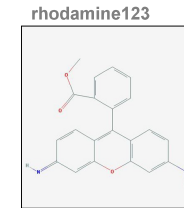
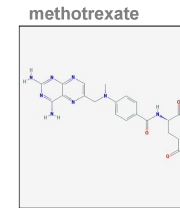
Drogkötő helyek vizsgálata *in silico* dokkolással

- Fix fehérje, flexibilis ligand
 - Több konformáció (6 db, egyensúlyba hozott)
 - Doboz; ligand odapróbálása nagyon sokszor (ebből 20/futás)



Drogkötő helyek vizsgálata *in silico* dokkolással
AutoDock Vina

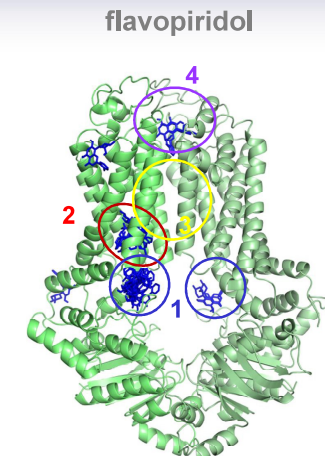
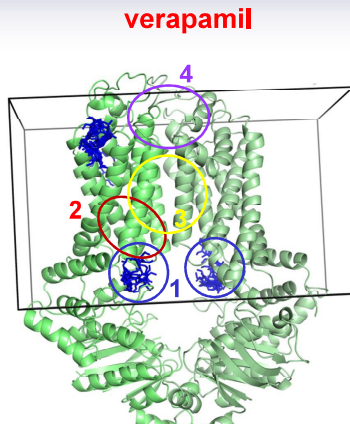
- Fix fehérje, flexibilis ligand
 - Több konformáció (6 db, egyensúlyba hozott)
 - Doboz; ligand odapróbálása nagyon sokszor (ebből 20/futás)
 - Mindent oda lehet dokkolni... ezért szubsztrát + nemszubsztrát



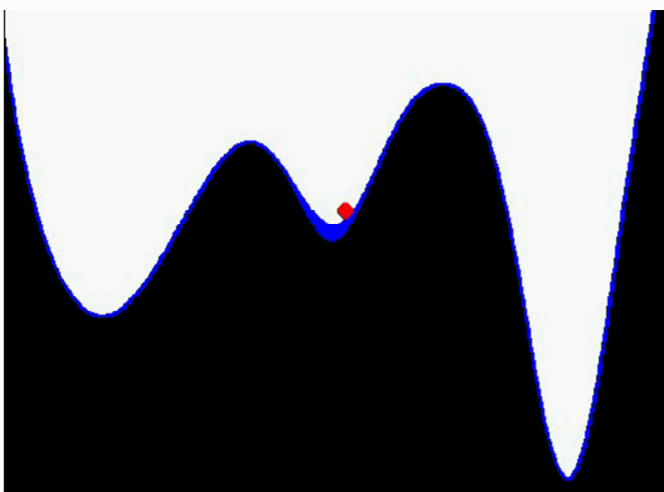
Drogkötő helyek vizsgálata *in silico* dokkolással
AutoDock Vina

- Fix fehérje, flexibilis ligand
 - Több konformáció (6 db, egyensúlyba hozott)
 - Doboz; ligand odapróbálása nagyon sokszor (ebből 20/futás)
 - Mindent oda lehet dokkolni... ezért szubsztrát + nemszubsztrát
 - (6 ABCG2 konformáció) * (20 pozitúra) * (3 párhuzamos)*
 $(25 \text{ szubsztrát} + 14 \text{ nem-szubsztrát}) = 14\ 040 \text{ pozitúra}$
 - Pozitúrák klaszterezése

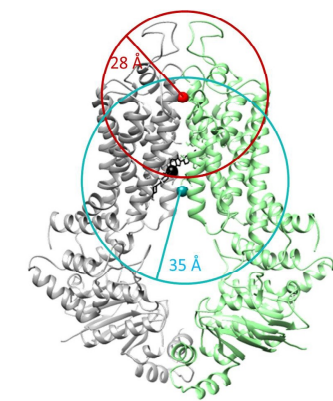
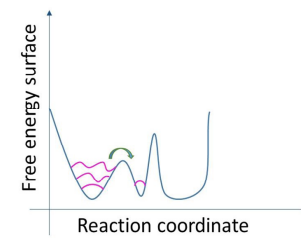
Drogkötő helyek vizsgálata *in silico* dokkolással



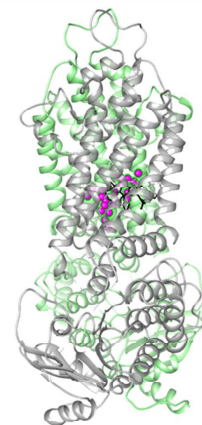
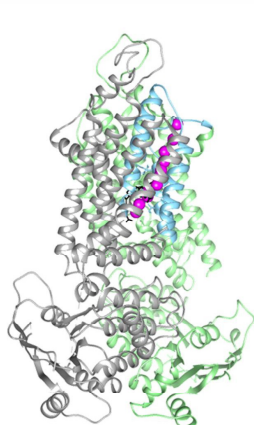
Metadinamika



Transzport útvonalak feltérképezése metadinamikával



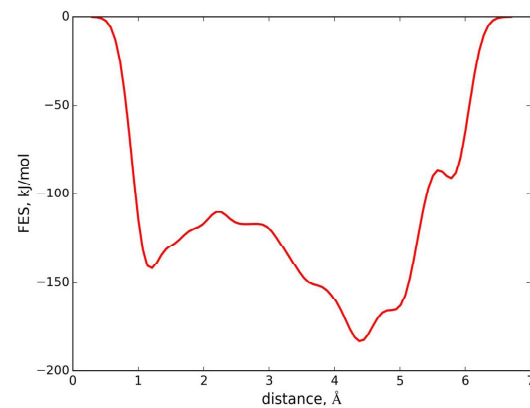
Transzport útvonalak feltérképezése metadinamikával



methotrexate

calcein

FES - Free Energy Surface



Cisztás fibrózis, CFTR fehérje

